

# Signaler, information & bilder, föreläsning 16

Michael Felsberg och Maria Magnusson  
Computer Vision Laboratory (Datorseende)  
Department of Electrical Engineering (ISY)  
michael.felsberg@liu.se,  
maria.magnusson@liu.se



## Översikt

- Mer om Histogram och tröskelsättning
  - Histogramutjämning
  - Lokal tröskelsättning
  - Tröskelsättning med hysteres
- Medianfilter
- Segmentering och etikettering
  - Watershed algoritmen
- Korrelation (2D)
  - Vanlig
  - Normerad
  - Utan DC-nivå
- Vidareledande kurser och profil
- Aktuell forskning
- Teori: Kap. 2.2, 5.1, 5.2, 6.1, 6.2, 6.5, 7
- Bygger på Maria Magnussons föreläsningar



## Histogramutjämning

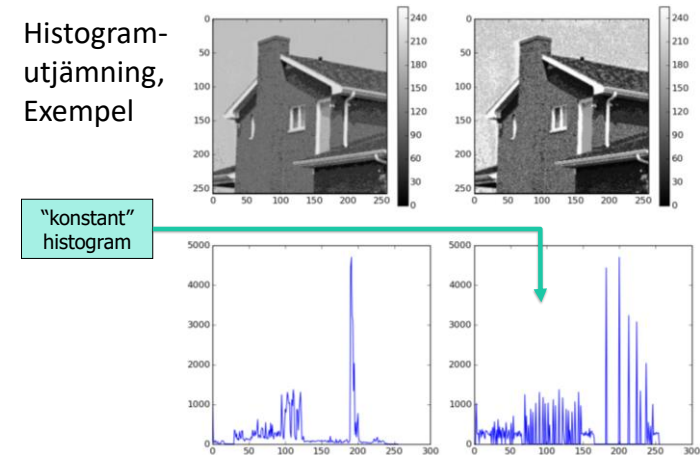
- Om varje pixels gråvärde transformeras genom histogrammets integral (diskret: kumulativa summa), blir den nya bildens histogram konstant (!) (I diskreta fallet blir det dock inte perfekt konstant.)

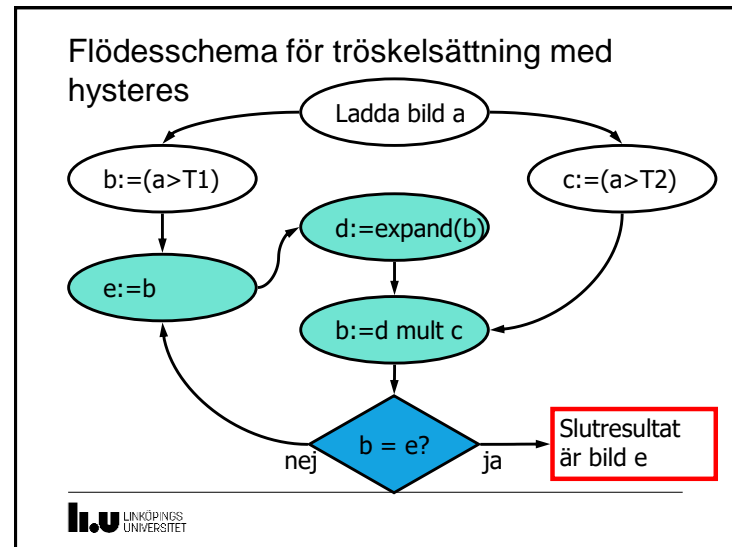
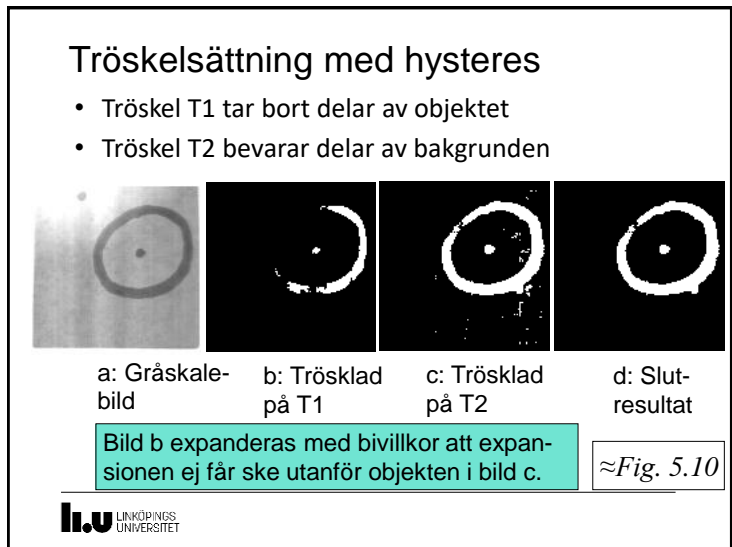
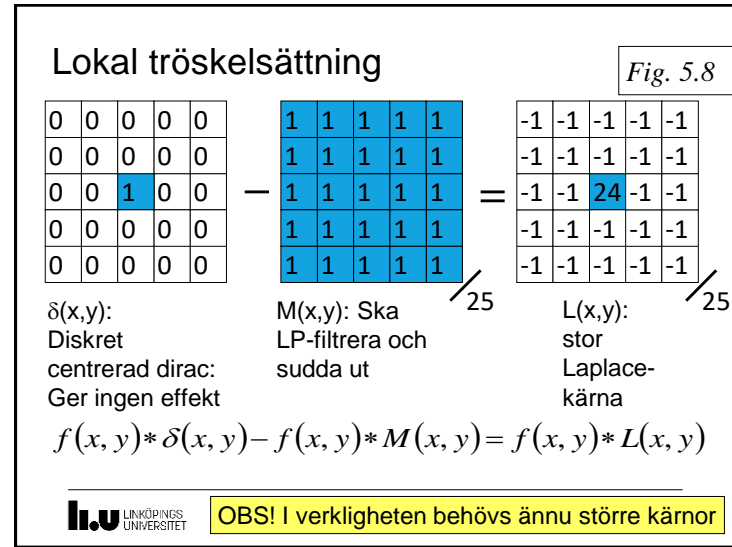
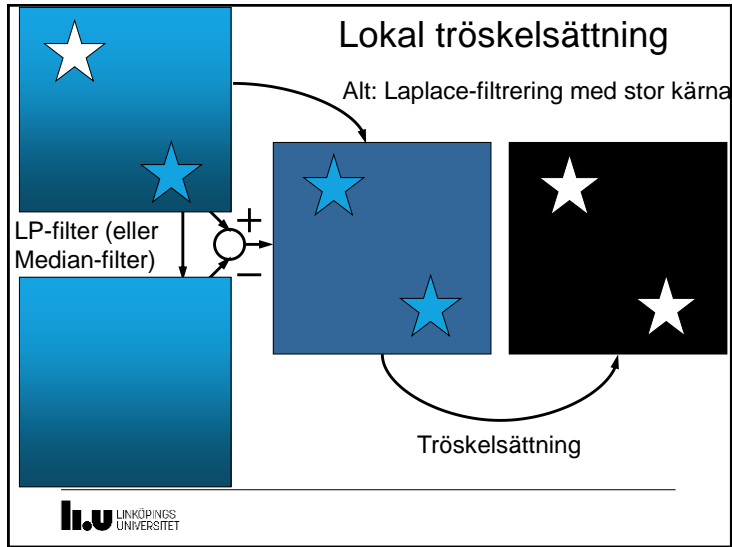
- Python-kod:

```
P = p.cumsum()           # p ej normaliserat histogram
P = 255*P / P[-1]        # skala om till rätt intervall
f2 = np.interp(f.flatten(),np.arange(256),P)
                          # beräkna nya gråvärden
f2 = f2.reshape(f.shape) # gör om till 2D bild
```



## Histogramutjämning, Exempel

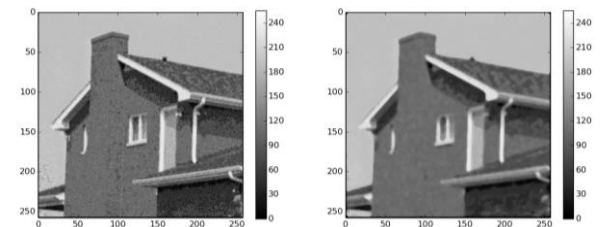




## Medianfilter

- Medianen  $M$  är det gråvärde sådant att antalet gråvärden större än  $M$  är lika med antalet gråvärden mindre än  $M$
- Ett medianfilter ersätter på arbetspunkten gråvärdet med medianen i filtermasken.

$Im_3 = \text{signal.medfilt2d}(Im,5)$



## Median-filtrering, teknik

- Median-filtret glider över in-bilden på liknande sätt som vid faltning.
- Värdena under filtret noteras. Exempel:  
1 1 9 2 3 3 3 3 3
- De sorteras till:  
1 1 2 3 3 3 3 3 9
- Median-värdet blir här 3. Det sätts i ut-bilden.

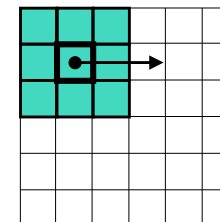
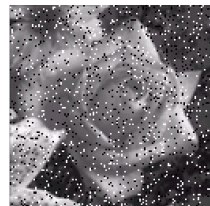


Bild med glidande median filter

Sortering är beräkningstung!

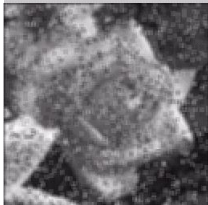
## Jämförelse: Median- och LP-filer

Original-bild...



...med salt- och peppar brus

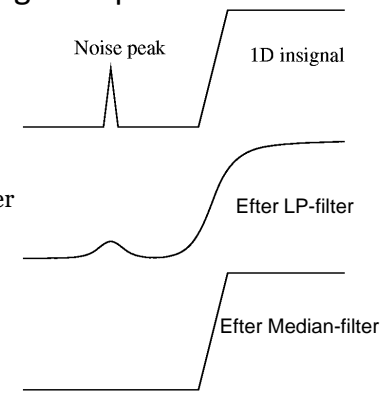
Efter LP-filtrering med 3x3-filer



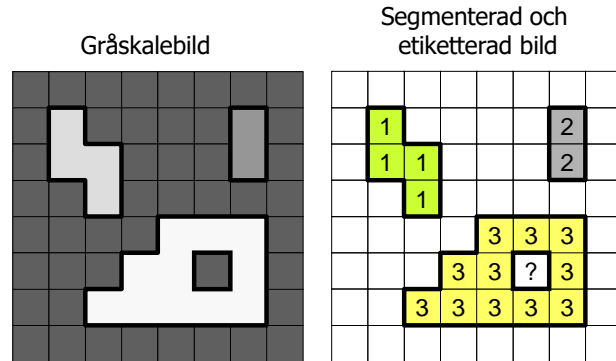
Efter Median-filtrering med 3x3-filer

## Median-filtrering, egenskaper

- Kanter bevaras
- Brus undertrycks
- Tunna linjer förstörs
- Jämna ytor uppkommer



## Segmentering skiljer ut och etiketterar sammanhängande objekt



## Exempel på Segmenteringsalgoritmer

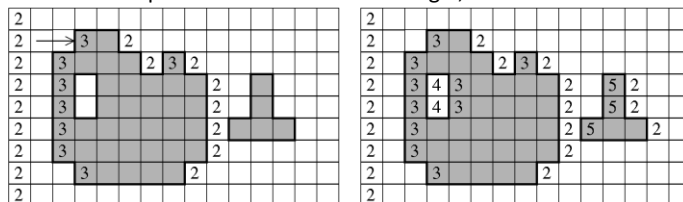
- Tröskelsättning
- Watershed, MSER (liknar watershed)
- mm
- Ett gemensamt slutsteg på en segmentering är ofta etikettering (labeling)

### Exempel på Etikettering (labelling)

- Flood-fill (används ofta i datorgrafik)
- RB-algoritmen (Raster-scan Borderfollow)
- mm

## RB-algoritmen (Raster-scan Border-follow)

- Bilden rasterscannas vänster-höger uppifrån-nedåt.
- När scanningen passerar en kant (0->1 eller 1->0) avbryts skanningen och konturföljning sker.
- Under konturföljningen sätts etiketter till höger om kant.
- Till sist expanderas alla etiketter till höger, se nästa slide.

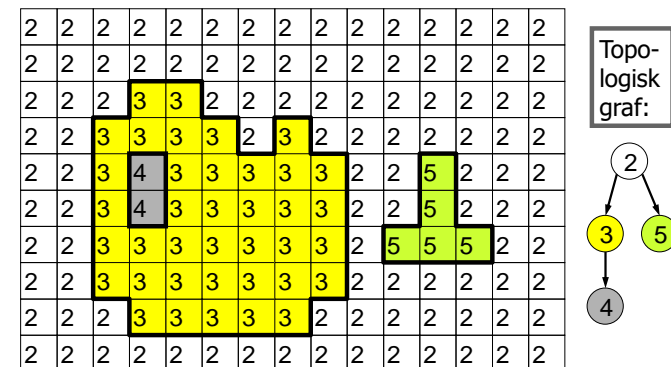


Efter konturföljning av det första objektet.

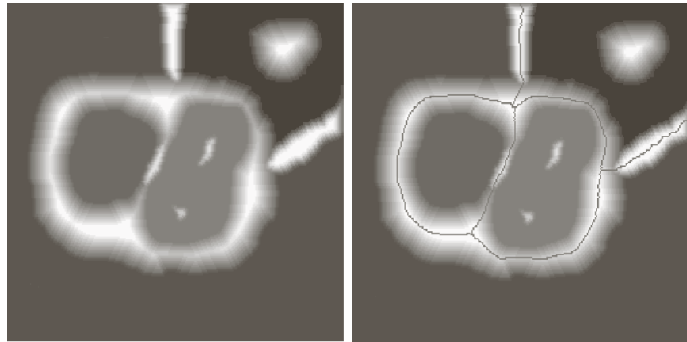
Fig. 6.21

Efter konturföljning av båda objekten och ett hål.

## RB-algoritmen, slutresultat



## Watershed segmentering, introduktion



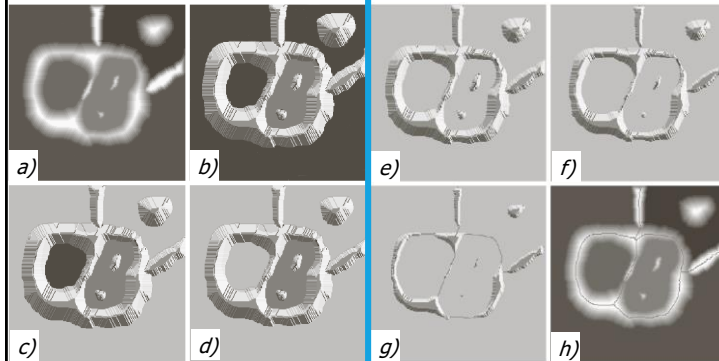
a)

h)

## Watershed segmentation, introduction

- Fig. 10.54 a) The watershed algorithm regards a gray scale image as a landscape, where the lakes are preferably dark pixels and the ridges and mountains are preferably bright pixels.
- A watershed = a ridge between individual lakes and rivers.
- A catchments basin = a geographic area whose water flows to a certain lake.
- Fig. 10.54 h) The watershed algorithm can find the watersheds in the image. They form closed curves and the area inside each closed curve, the catchments basin, can be regarded as a segmented, individual object.

## Watershed segmentering, beskrivning



a)

b)

e)

f)

c)

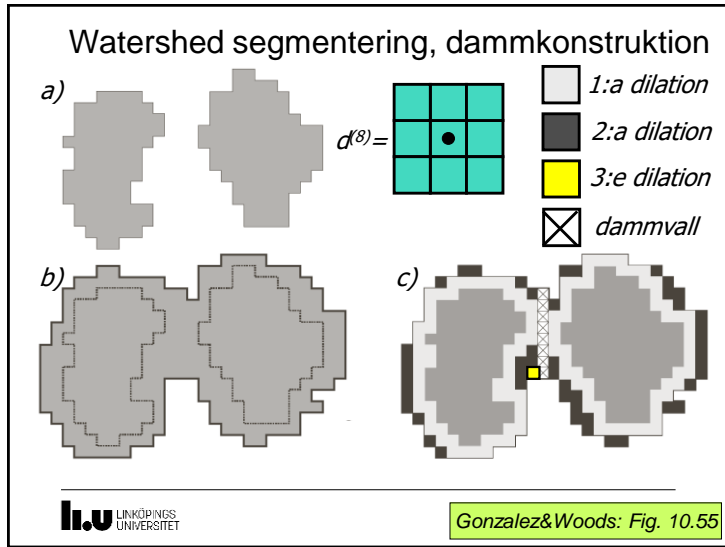
d)

g)

h)

## Watershed segmentation, description

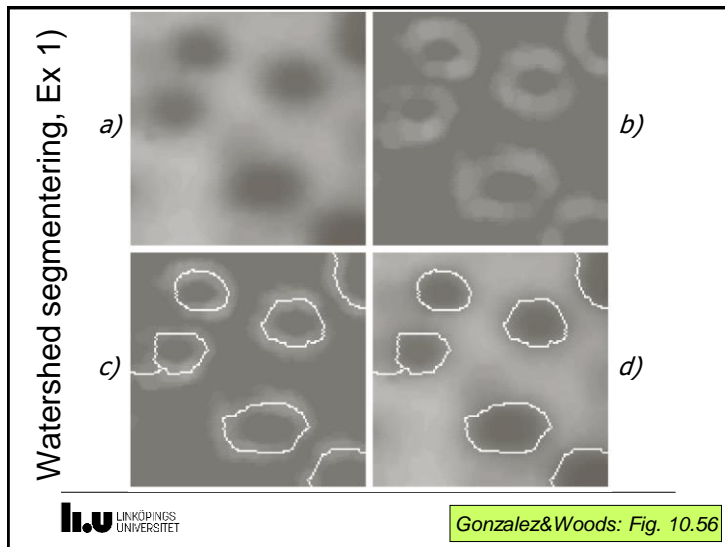
- Fig. 10.54 b) is a topographic view of 10.54 a). It is intended to give a 3D-feeling.
- In the beginning, the landscape in a) and b) is totally dry. Local minima are detected and holes are punched in each of them.
- Then the entire landscape is flooded from below by letting water rise through the holes at a uniform rate.
- In c), there is water (light gray) in the background.
- In d), there is also water in the left lake.
- In e), there is water in both lakes.
- In f), there is the first sign on overflow between two catchments basins. Therefore, a short dam has been built between them.
- In g), there are rather long dams.
- Finally, the whole landscape is over flooded with water, separated by high dams, watersheds.
- In h), these watersheds are shown overlaid on the original image.



### Watershed segmentation, dam construction

- Let  $C_{n-1}(M_1)$  denote the pixels in lake  $M_1$  at flooding step  $n-1$ . These are shown to the left in a).
- Let  $C_{n-1}(M_2)$  denote the pixels in lake  $M_2$  at flooding step  $n-1$ . These are shown to the right in a).
- Flooding step  $n$  is shown in b).
- Let  $C(n-1)$  denote the union of  $C_{n-1}(M_1)$  and  $C_{n-1}(M_2)$ . There are 2 objects in  $C(n-1)$  in a) and 1 object in  $C(n)$  in b). This indicates that something have happened in step  $n$  and that some action must be performed.
- Dilate the pixels in a) with the  $d^{(8)}$ -structuring element considering the following constraints:
  - Dilation is not allowed outside b).
  - Dilation is not allowed so that the pixels in  $M_1$  and  $M_2$  are united.
  - Instead, if the pixels in  $M_1$  and  $M_2$  are going to be united, denote: dam pixel.
- The first dilation in c) gives the light gray pixels.
- The second dilation in c) gives the dark gray pixels and the X-marked dam pixels.

**li.u** LINKÖPINGS UNIVERSITET

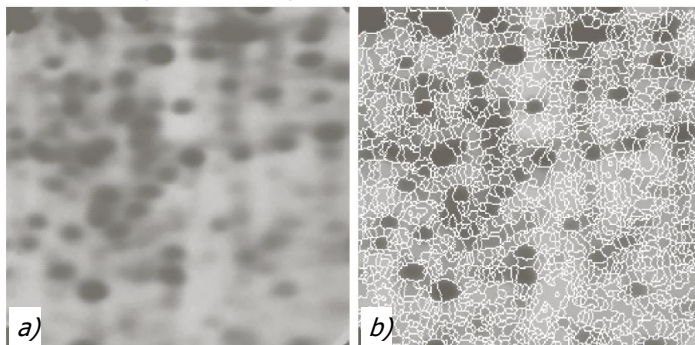


### Watershed segmentation, Ex 1)

- a) Original image with dark objects that are going to be segmented.
- b) A usual pre-processing step is to calculate the magnitude of the gradient.
- c) The result of the watershed algorithm overlaid on the gradient image.
- d) The result of the watershed algorithm overlaid on the original image.

**li.u** LINKÖPINGS UNIVERSITET

## Watershed segmentering, Ex 2) översegmentering/superpixlar



Li.U LINKÖPINGS  
UNIVERSITET

Gonzalez&Woods: Fig. 10.57

## 2D Faltning och Korrelation

Faltning:

$$f * g(x, y) = \int_{-\infty}^{\infty} \int_{-\infty}^{\infty} f(\alpha, \beta) \cdot g(x - \alpha, y - \beta) d\alpha d\beta$$

Korrelation:

$$f \square g(x, y) = \int_{-\infty}^{\infty} \int_{-\infty}^{\infty} f(\alpha, \beta) \cdot g(x + \alpha, y + \beta) d\alpha d\beta$$

Ekv. 7.1

Korrelation är samma sak som faltning med vikt kärna (faltning förfarandet utan viktning)

Li.U LINKÖPINGS  
UNIVERSITET

## 2D diskret Faltning och Korrelation

$$f * g(x, y) = \sum_{\alpha} \sum_{\beta} f(\alpha, \beta) \cdot g(x - \alpha, y - \beta) \quad \text{Ekv. 7.2}$$

$$f \square g(x, y) = \sum_{\alpha} \sum_{\beta} f(\alpha, \beta) \cdot g(x + \alpha, y + \beta)$$

0	-2	1	□	0	-2	1	=	0	-4	2	□	0	4	-4	1
0	0	0		0	0	0		-2	9	-2		0	0	0	
0	2	0		0	2	0		0	0	0		0	0	0	
$f(x, y)$				$g(x, y)$				$f * g(x, y)$				$f \square g(x, y)$			

Notera symmetrin och att vi får max i origo!

Faltningsresultat som jämförelse

Li.U LINKÖPINGS  
UNIVERSITET

## Räknelagar för Faltning och Korrelation

Faltning kommuterar:

$$f * g(x, y) = g * f(x, y)$$

Korrelation kommuterar inte:

$$f \square g(x, y) = g \square f(-x, -y)$$

Faltning i Fourierdomänen:

$$\mathfrak{F}_2[f * g(x, y)] = F(u, v) \cdot G(u, v)$$

Korrelation i Fourierdomänen (f och g reella):

$$\mathfrak{F}_2[f \square g(x, y)] = F^*(u, v) \cdot G(u, v)$$

Bevisen är en trevlig övning!

Li.U LINKÖPINGS  
UNIVERSITET

### Mönsterdetektering med korrelation

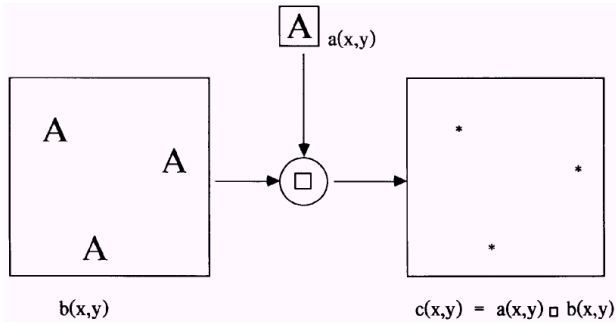


Fig. 7.1

### Mönsterdetektering med vanlig korrelation

$$c(x, y) = \sum_{\alpha} \sum_{\beta} a(\alpha, \beta) \cdot b(\alpha + x, \beta + y) \quad \text{Ekv. 7.12}$$

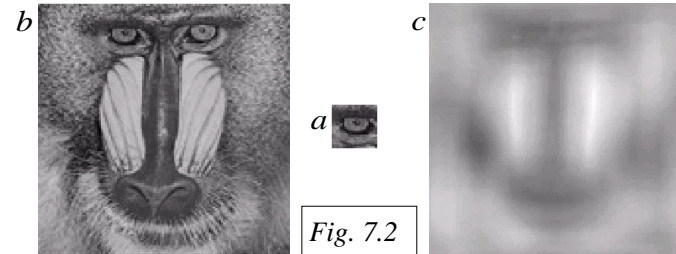


Fig. 7.2

Hög positiv signalstyrka i bilden b(x,y) och positivt mönster kan ge högt korrelationsresultat även om mönstret och bilden ej överensstämmer.

### Mönsterdetektering med normerad korrelation

$$a_n(x, y) = \frac{\sum_{\alpha, \beta} a(\alpha, \beta) \cdot b(\alpha + x, \beta + y)}{\sqrt{\sum_{\alpha, \beta} a^2(\alpha, \beta) \sum_{\alpha, \beta \in \Omega} b^2(\alpha + x, \beta + y)}} \quad \text{Ekv. 7.14}$$

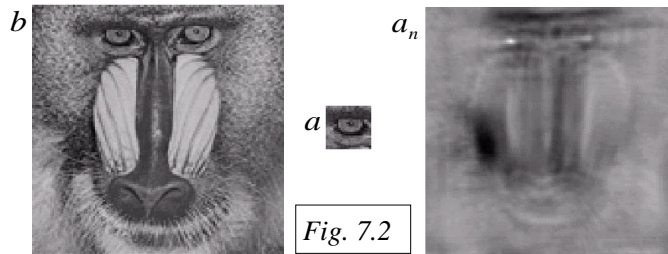


Fig. 7.2

### Mönsterdetektering med korrelation utan DC-nivå

$$d(x, y) = \sum_{\alpha, \beta} [a(\alpha, \beta) - \mu_a] \cdot [b(\alpha + x, \beta + y) - \mu_b] = \sum_{\alpha, \beta} [a(\alpha, \beta) - \mu_a] \cdot [b(\alpha + x, \beta + y)] \quad \text{Ekv. 7.15}$$

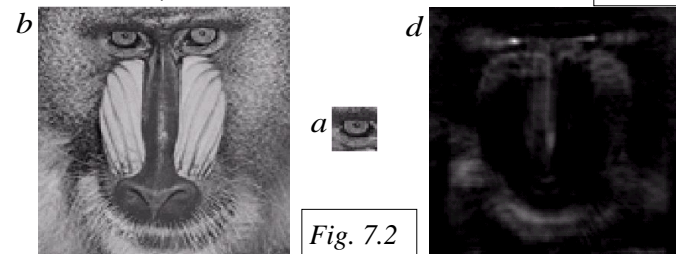


Fig. 7.2

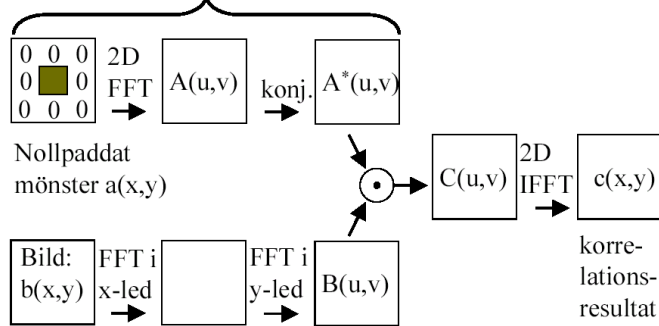


## Beräkning i Fourierdomänen

$$C(u, v) = A^*(u, v) \cdot B(u, v)$$

Kan förberäknas

Ekv. 7.13



## Kovariansmatris

För den speciellt matematikintresserade...

- Korrelation utan DC nivå blir kovarians
- Cyklisk kovarians av en 1D signal med sig själv motsvarar en symmetrisk, cyklisk matris (1)
- Egenvektorerna är kosinusfunktioner (2)
- Med hjälp av egenvektorerna *dekorreleras* signalen, d v s energin kan beräknas punktvis (3)
- (1)-(3) är relativt enkelt att bevisa
  - (1) stationäritet, variabelbyte
  - (2) fourierbasen som LTI egenvektorer + symmetrin
  - (3) ortogonalitet

## Lab4: Bildkompression med JPEG

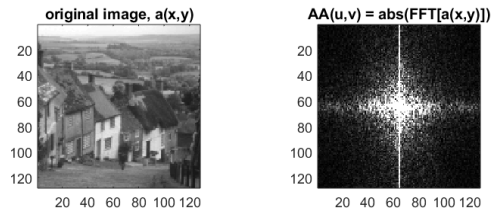
- JPEG är namnet på en (förstörande) bildkompressionsmetod. Genom att använda denna teknik tar bilden mycket mindre plats att lagra.
- JPEG bygger på transformteknik. Man använder cosinustransformen som är en nära släkting till fouriertransformen.
- Bilden delas upp i 8x8-rutor och varje ruta transformeras och kodas var för sig.
- Tanken är att de låga frekvenserna är viktigare än de höga.
  - Första tanken är att nollställa de högsta frekvenserna, särskilt i 8x8-rutor med liten variation.
  - Smartare är att kvantisera de höga frekvenserna hårdare.

## Bild, komprimerad med JPEG



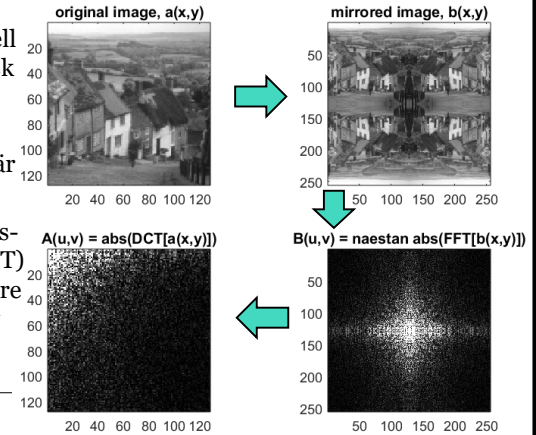
## Diskret fouriertransform (DFT), beräknas med FFT

- DFT:n tycker att bilden sitter ihop i över- och underkant, samt i vänster- och högerkant.
  - Den stora skillnaden i över- och underkant ger upphov till den skarpa lodräta linjen i FFT:n.
  - vänster- och högerkant är mer lika och ger bara en svag horisontell kant.



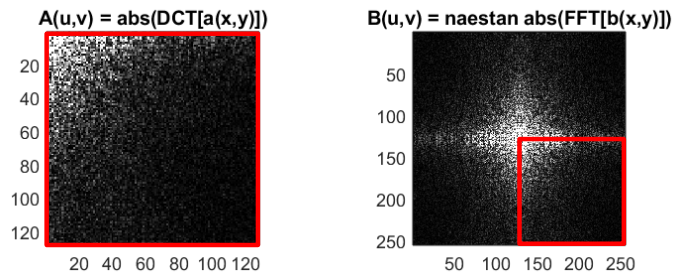
## Spegling löser problemet!

- DFT:n (här  $B(u,v)$ ) blir reell och symmetrisk (jämn).
- Den skarpa lodräta linjen är borta.
- Diskret cosinustransform (DCT) motsvarar nedre högra delen av  $B(u,v)$ .



## Diskreta Cosinustransformen (DCT:n) och DFT:n

- DCT:n har de låga frekvenserna uppe till vänster.
- DFT:n har de låga frekvenserna i mitten.



## Diskret cosinustransform (DCT), alternativ beskrivning

- Tvinga fram symmetri:  $[1 \ -4 \ 4 \ 0 \ 0 \ 4 \ -4 \ 1]$
- 1D-DFT ger då 1D-DCT (origo flyttas med  $1/2$ )
- För bildregioner, kan DCT beräknas rad- och kolumnvis:
 
$$F_C(k, l) = \sum_{n=0}^{N-1} \sum_{m=0}^{M-1} f_d(n, m) \cos \left[ \frac{\pi k}{N} \left( n + \frac{1}{2} \right) \right] \cos \left[ \frac{\pi l}{M} \left( m + \frac{1}{2} \right) \right]$$
- med korrekt normalisering blir DCT:n ortogonal
  - DC komponenten (i varje led) multipliceras med:  $1/\sqrt{2}$
  - hela matrisen med basfunktioner mult. med:  $2/\sqrt{MN}$
  - Detta behövs dock egentligen inte i JPEG kompression

## PSNR: Globalt bildavstånd i gråvärde

- Peak Signal to Noise Ratio (PSNR)
- Klassisk mått på hur bra t ex avbrusning fungerar.
- Vi använder det för att mäta bildkvalitet efter JPEG-kompression.
- Bygger på kvadratiska medelfelet mellan två bilder, Mean Square Error (MSE)

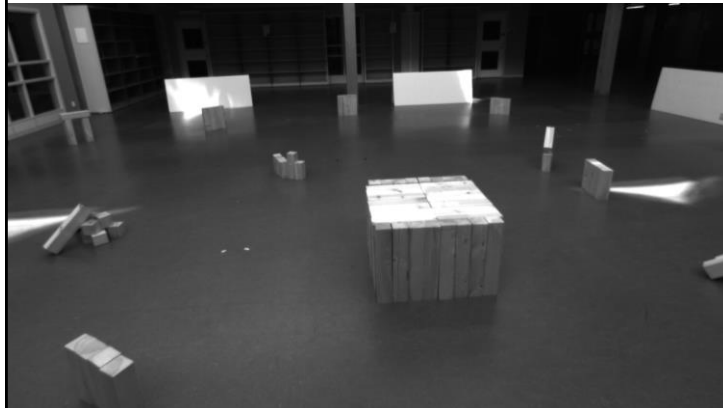
$$MSE = \sqrt{\text{mean}((\text{bild1} - \text{bild2})^2)}$$

- Mäts i dB (decibel)  $PSNR = 10 \cdot \log_{10} \left( \frac{255^2}{MSE} \right)$

## Bild-relaterade kurser: AI&ML profil

- TSBB06 Multidimensionell signalanalys
- TSBB08 Digital bildbehandling grundkurs
- TSBB09 Bildsensorer
- TBMI26 Neuronnät och lärande system
- TSBB11 Bilder och grafik, projektkurs, CDIO
- TSBB15 Datorseende *Deep Learning*
- TSBB17 Visuell detektion och igenkänning
- kurser inom bildkodning (TSBK): grafik, datorspel, m fl
- interna och externa exjobb

## exempel: 3D mapping



## exempel: studentprojekt



exempel: a pose from a picture



**li.u** LINKÖPINGS  
UNIVERSITET

exempel: studentprojekt

How to Train Your Nao

TSBB11 HT15

Madeleine Stein, Susanna Gladh,  
Anton Ågren, Fredrik Kvillborn,  
Elin Andersson, Fredrik Lövgren  
och Rickard Bondemark



**li.u** LINKÖPINGS  
UNIVERSITET

## Alumni + Samarbete

- svenska företag
  - SAAB & Vricon
  - Spotscale
  - Autoliv & Zenuity
  - Scania
  - Termisk Systemteknik & Visage Technologies
- internationella företag
  - Daimler
  - SICK
  - Apple
  - Siemens

**li.u** LINKÖPINGS  
UNIVERSITET

Ett lite äldre exempel på vår forskning:  
trafikskyltar och fourierdeskriptorer

- Bildens konturer erhålls från Watershed eller MSER algoritmerna.
- Konturen kan beskrivas som en komplex funktion:  
 $c : [0, 1] \rightarrow \mathbb{C}, t \mapsto x(t) + jy(t)$
- 1D fourierserien  $C$  av denna funktion kallas fourierdeskriptor.
- Den har invariansegenskaper för:
  - position
  - orientering
  - storlek

**li.u** LINKÖPINGS  
UNIVERSITET

## Exempel: forskning



## Aktuell forskning

- Computational imaging
  - rullande slutare
- Detection, tracking and recognition
  - 1:a, 2:a, och 3:e plats i VOT(-TIR) & OpenCV tävlingar
- 3D structure and pose estimation
  - under en tid 1:a plats i KITTI listan
- Robot vision, autonomous systems, AI
  - del av WASP (största svenska projektet i historien)

## Exempel: forskning



## Exempel: 3D struktur och rörliga objekt

